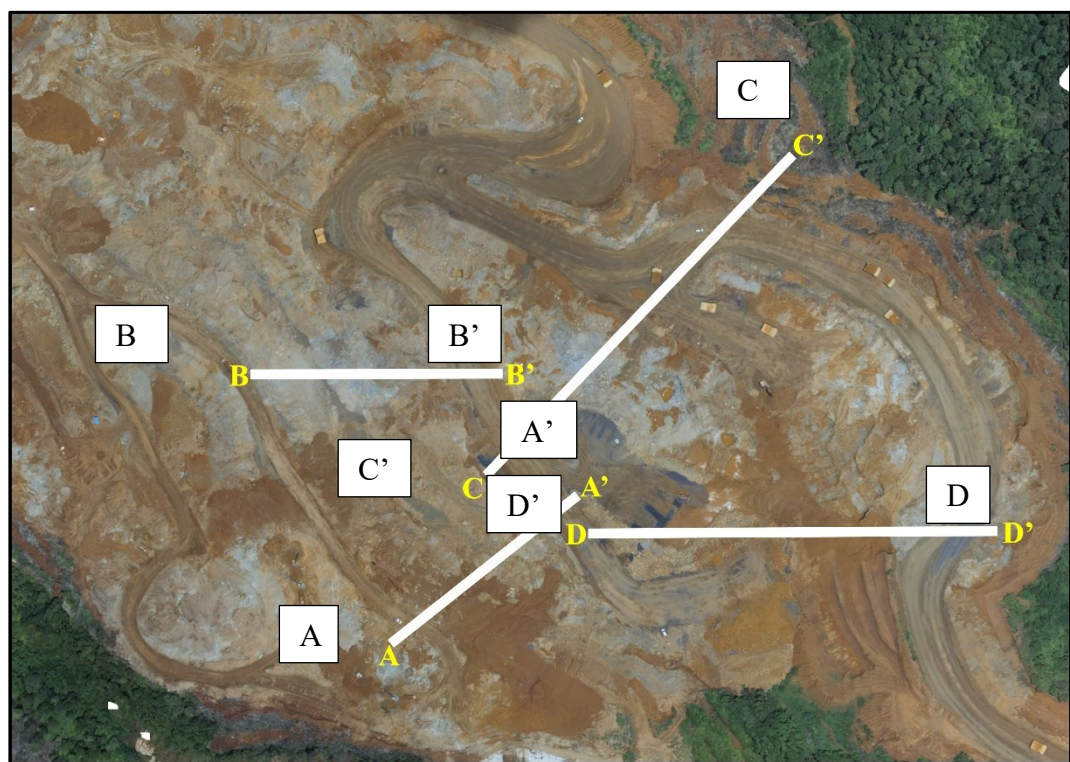


DAFTAR PUSTAKA

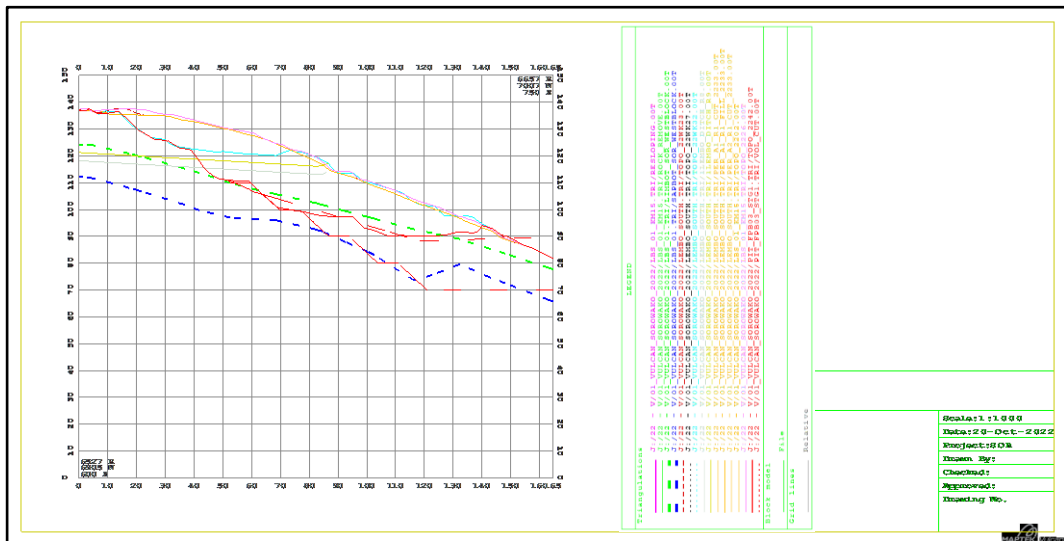
- Analiser, H., dan Nurhakiki. (2019). Analisis Kestabilan Lereng Mine Highwall Dengan Metode Bishop Dan Software Rockscience Slide Pada Area Penambangan Batubara Di Pit 2A Barat Pt. Fontana Resources Indonesia) Kab. Barito Utara Kalimantan Tengah. *Jurnal Sains dan Teknologi – ISTP*, 11(01), 35-49.
- Arif, I., (2016). *Geoteknik Tambang: Mewujudkan Produksi Tambang yang Berkelaanjutan dengan Menjaga Kestabilan Lereng*. Jakarta: PT Gramedia Pustaka Utama.
- Arief, S., (2007). *Dasar-Dasar Analisis Kestabilan Lereng*. PT INCO: Sorowako.
- Arief, S., (2008). *Analisis Kestabilan Lereng dengan Metode Irisan*. PT INCO: Sorowako.
- Atiiqah, F., & Heriyadi, B. (2020). Analisis kestabilan lereng front IV pit limit di area penambangan batu kapur PT. Semen Padang Sumatera Barat. *Jurnal Bina Tambang*, 5(3), 29-38.
- Azizi, M. A., Hakim, R. N., Nugraha, A. D., (2019). Optimalisasi Geometri Lereng Tambang Nikel Menggunakan Metode Probabilitik Pada Hill Pit 05, PT Vale Indonesia Tbk, Sorowako, Kabupaten Luwu Timur, Provinsi Sulawesi Selatan. *Jurnal Geomine*, 7(2). Pp-92-100.
- Darwis. (2018). *Dasar-Dasar Mekanika Tanah*. Makassar: Pena Idris.
- Duncan , J. M. , and Wright , S. G. (2005). *Soil strength and slope stability* , John Wiley & Sons , New York.
- Giani, G.P., (1992). *Rock slope stability analysis, 1 ed.* Taylor and Francis: Turi.
- Hariyanto, R., Kunjana, M., D., dan Rosadi, P., E. (2019). Rancangan Geometri Lereng Penambangan Nikel Laterit pada Pit Bravo Romeo 2 PT Sulawesi Cahaya Mineral, Sulawesi Tenggara. *Jurnal Teknologi Pertambangan*, 5(1), 1-9.
- Hawanto, A., Amran, Y., dan Sriharyani, L. (2021). Analisis Sifat Fisik Dan Mekanis Tanah Lempung Menggunakan Bahan Additive Difa Soil Stabilizer Dan Semen. *JUMATISI*, 2(2), 156-166.
- Hoek, E., & Bray, J. (1981). *Rock Slope Engineering Third Edition*. The Institution Of Mining and Metallurgy, London.
- Imran, F., Afriani, L., dan Zakaria, A. (2020). Analisa Kestabilan Lereng dan Metode Penanganannya Pada Tanah Lempung Berpasir. *JRSDD, Edisi Maret 2020*, 8(1), 181-192.

- Jihad, M., Putra, R. H. K., dan Sari, A. S. (2023). Kajian Stabilitas Lereng Pada Lahan Bekas Tambang Andesit. *Prosiding SEMITAN II ITATS*, 2(1), 41-46.
- Karnawati D., (2007). Mekanisme Gerakan Massa Batuan Akibat Gempa Bumi – Tinjauan dan Analisis Geologi Teknik. *Jurnal Dinamika Teknik Sipil*, 7(2), 179-190.
- Khodijah, S., Monica, U. S., Ersyari, J., Khoirullah, N., dan Sophian, R. I. (2022). Analisis Kestabilan Lereng Menggunakan Metode Kesetimbangan Batas Dalam Kondisi Statis Dan Dinamis Pada Pit X, Tanjung Enim, Sumatra Selatan. *Padjadjaran Geoscience Journal*, 6(4), 1030-1037.
- Krahn, J. (2004). *Stability Modeling with SLOPE/W, 1st Edition*. GEOSLOPE/W International, Ltd. Canada.
- Krostanto, I dan Hutapea, R. O. M. (2023). Studi Stabilitas Lereng Pada Kampung Inggramui Kabupaten Manokwari Provinsi Papua Barat. *INTAN Jurnal Penelitian Tambang*, 6(2), 95-101.
- Lampiran II (Pedoman Pengelolaan Teknis Pertambangan). 2018. Kepmen ESDM RI Nomor 1827 K/30/MEM/2018 Tentang Pedoman Pelaksanaan Kaidah Teknik Pertambangan Yang Baik.
- Mutalib, A. (2011). *Pengujian Menurut SNI Untuk Mengetahui Sifat Fisis Dan Sifat Mekanis Tanah (Studi Kasus Gunung Selatan Kota Tarakan)*. Tarakan: UBT.
- Ningsih, R., Ikhwan, Suradji. (2021). Pengaruh Perubahan Kadar Air Pada Tanah Lempung Terhadap Uji Geser Langsung Dan Uji Kuat Tekan Bebas. *SIGMA: Jurnal Teknik Sipil*, 1(2), 54-62.
- Nugroho, S. A., Putra, A. I., dan Ermina, R. (2012). Korelasi Parameter Kuat Geser Tanah Hasil Pengujian Triaksial Dan Unconfined Compression Strength (UCS). *Jurnal Sains dan Teknologi*, 11 (1), 1-10.
- O'Kelly, B., Orr, T., & Farrell, E. (2009). Geotechnical Teaching And Research Reaches Fifty Year Milestone At Tcd. *Engineers Journal*, 63(1), 26-27.
- PT. Vale Indonesia Tbk. (2022). Penentuan Batas-batas Atterberg (Atterberg Limit). *SOP No: 007 – GEO/LW-2022*, 1-8.
- PT. Vale Indonesia Tbk. (2022). Particle Size Analysis (Hydrometer Test). *SOP No: 011 – GEO/LW-2022*, 1-11.
- Rajagukguk, O. C. P., Turangan, A. E., dan Monintja, S. (2014). Analisis Kestabilan Lereng Dengan Metode Bishop (Studi Kasus: Kawasan Citraland Sta.1000 m). *Jurnal Sipil Statik*, 2(3), 139-147.
- Read, J. R. L., & Stacey, P. F. (2009). Open pit slope design. In *Rock Mechanics and Engineering Volume 3: Analysis, Modeling and Design*.

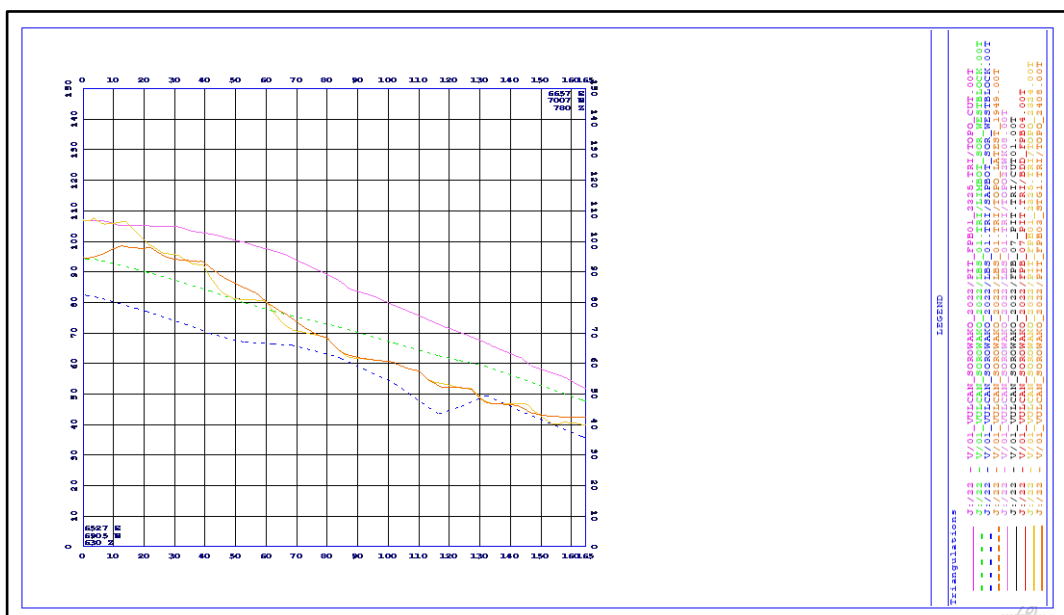
- Rochmawati, R dan Irianto. (2020). Tinjauan Sifat Fisis Dan Mekanis Tanah Untuk Menentukan Daya Dukung Tanah (Studi Kasus: Jalan Baru Kayu Batu Base-G Jayapura STA 0+200). *INTAN Jurnal Penelitian Tambang*, 3(1), 50-58.
- Seegmiller, B. L. (1972). *Rock Stability Analysis at Twin Buttes*. In Cording, E. J., ed., *Stability of Rock Slopes: 13th Symposium-on Rock Mechanics, Proceedings, American Society of Civil Engineers*. Hal. 511-517.
- Suman, S., Khan, S. Z., Das, S. K., dan Chand, S. K. (2016). Slope stability analysis using artificial intelligence techniques. *Natural Hazards*, 84(2), 727-748.
- Supandi, Riyadi, F. A., dan Purnomo, S. (2016). Studi Geolistrik Untuk Mengidentifikasi Kedudukan Lumpur dan Air Dalam Rangka Optimalisasi Timbunan Lowwall. *ReTII*, 352-356.
- Wyllie, D. C., & Mah, C. W. (2004). *Structural geology and data interpretation*. In *Rock Slope Engineering: Civil and mining 4th edition*. Spon Press Taylor and Francis Group: London.
- Yuliyani, N., dan Suliadi. (2023). Diagram Kendali Sintetik Coeffecient of Variation dalam Memantau Variabilitas Proses dan Penerapannya pada Data Pengukuran Core 4st. *Bandung Conference Series: Statistics*, 3(1), 42-49.

Lampiran 1 Lokasi Section Pit FPB-03

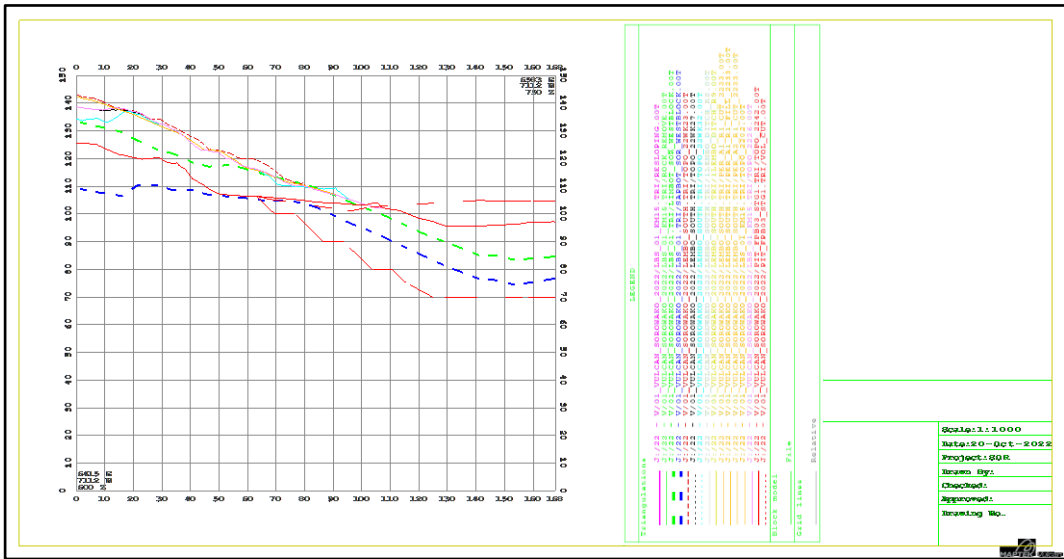
Lampiran 2 Penampang 2 Dimensi Pit FPB-03



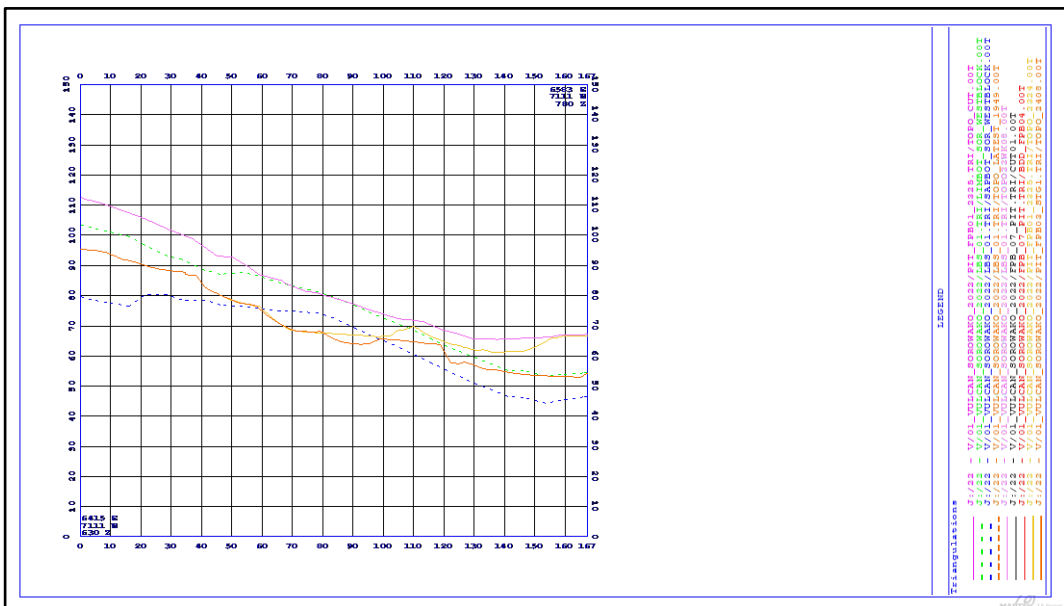
Section A-A' Desain



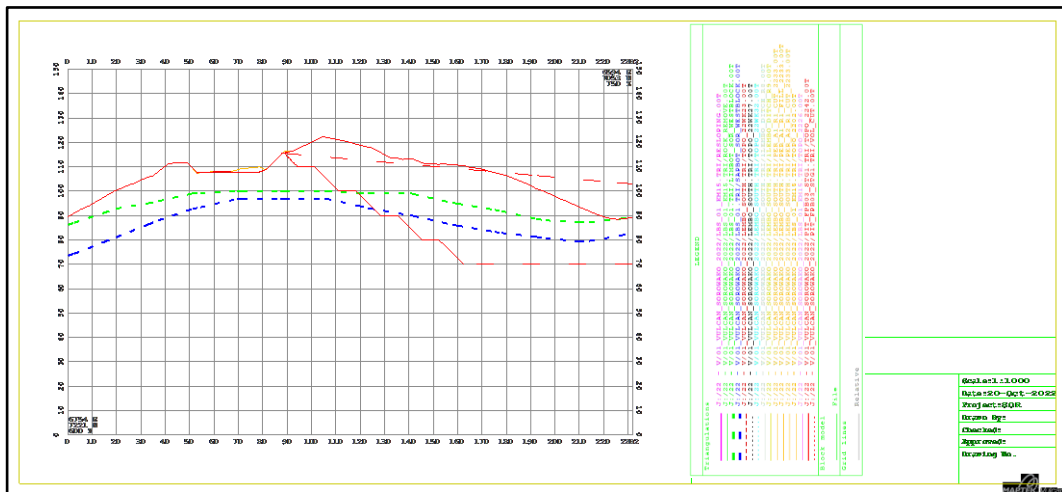
Section A-A' Aktual



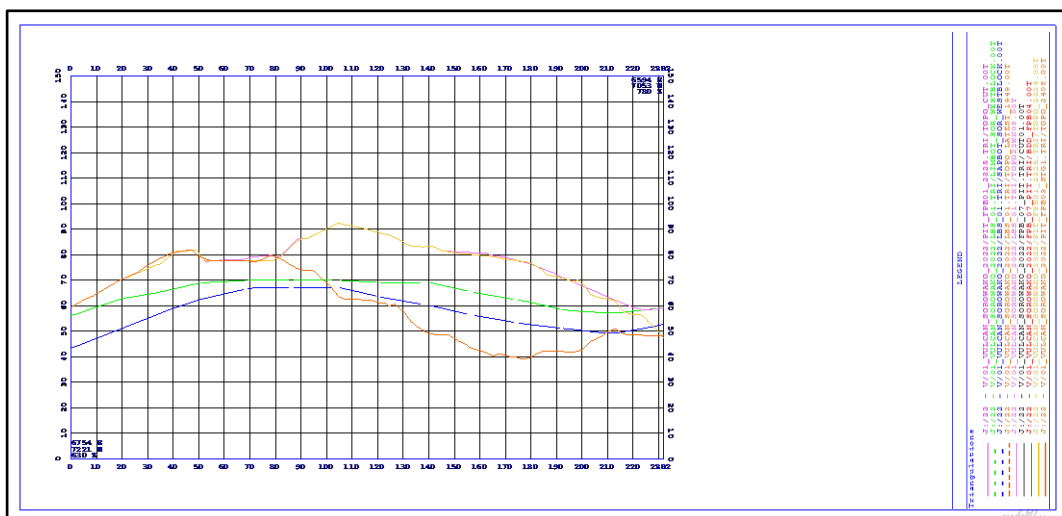
Section B-B' Desain



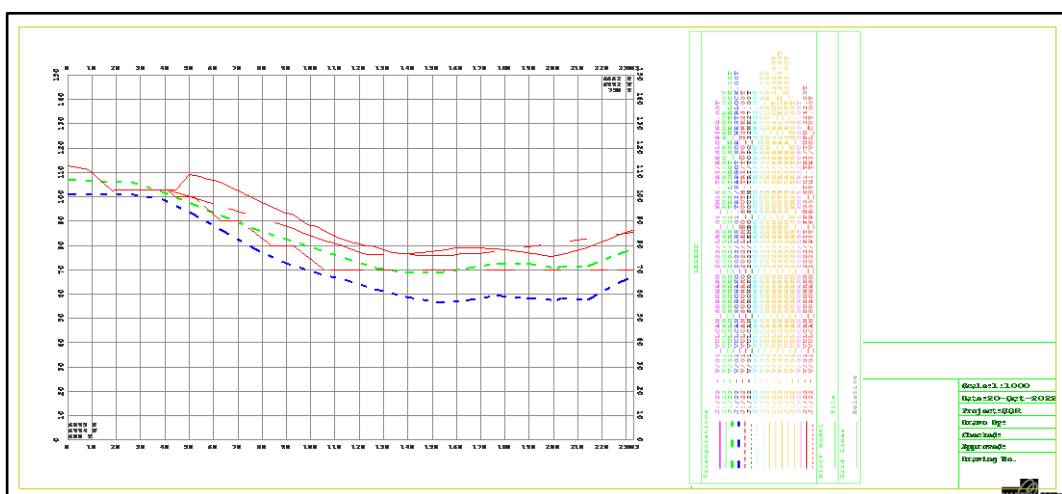
Section B-B' Aktual



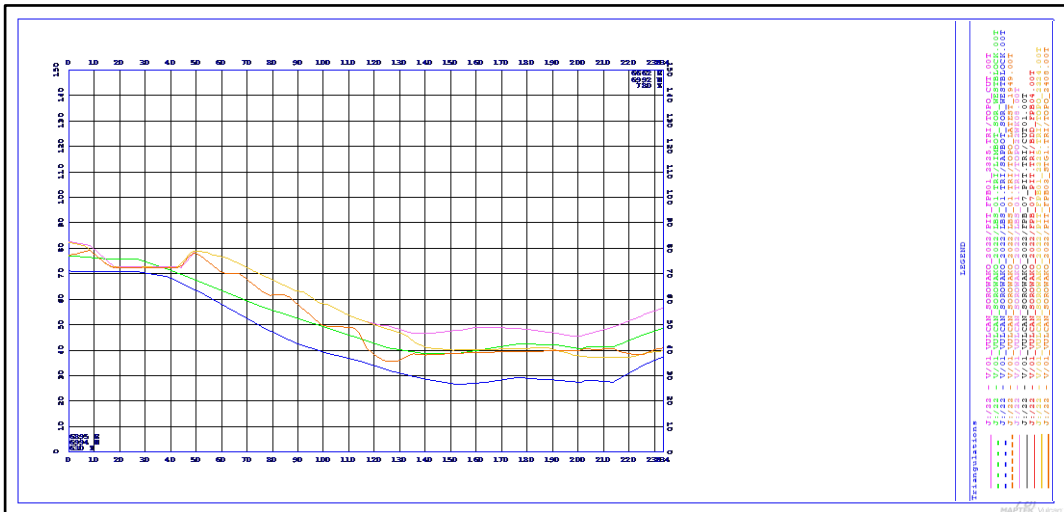
Section C-C' Desain



Section C-C' Aktual



Section D-D' Desain



Section D-D' Aktual

Lampiran 3 Perhitungan Kadar Air

Kadar air tanah asli dapat dihitung dengan persamaan sebagai berikut (Hawanto *et al.*, 2021):

$$W = \frac{W_2 - W_3}{W_3 - W_1} \times 100$$

Dimana,

W = Kadar air tanah asli (%)

W_1 = Berat cawan kosong (gr)

W_2 = Berat cawan + tanah basah (gr)

W_3 = Berat cawan + tanah kering (gr)

1. Kedalaman 01.55 – 02.00 Meter

$$\begin{aligned} W_A &= \frac{71.73 - 43.55}{43.55 - 8.43} \times 100 \\ &= 80.21\% \end{aligned}$$

$$\begin{aligned} W_B &= \frac{61.63 - 37.29}{37.29 - 8.43} \times 100 \\ &= 84.34\% \end{aligned}$$

$$\begin{aligned} W_C &= \frac{64.53 - 38.47}{38.47 - 8.46} \times 100 \\ &= 86.84\% \end{aligned}$$

$$\begin{aligned} W_D &= \frac{74.99 - 46.80}{46.80 - 8.40} \times 100 \\ &= 73.41\% \end{aligned}$$

$$\begin{aligned} W_E &= \frac{70.99 - 42.73}{42.73 - 8.35} \times 100 \\ &= 82.22\% \end{aligned}$$

$$W = \frac{80.21 + 84.34 + 86.84 + 73.41 + 82.22}{5} = 81.40\%$$

2. Kedalaman 03.50 – 04.00 Meter

$$\begin{aligned} W_A &= \frac{44.70 - 28.98}{28.98 - 8.43} \times 100 \\ &= 76.50\% \end{aligned}$$

$$\begin{aligned} W_B &= \frac{35.61 - 25.70}{25.70 - 8.42} \times 100 \\ &= 57.35\% \end{aligned}$$

$$\begin{aligned} W_C &= \frac{47.44 - 31.45}{31.45 - 8.33} \times 100 \\ &= 69.16\% \end{aligned}$$

$$\begin{aligned} W_D &= \frac{43.70 - 30.02}{30.02 - 8.33} \times 100 \\ &= 63.07\% \end{aligned}$$

$$\begin{aligned} W_E &= \frac{56.59 - 34.93}{34.93 - 8.28} \times 100 \\ &= 81.28\% \end{aligned}$$

$$W = \frac{76.50 + 57.35 + 69.16 + 63.07 + 81.28}{5} = 69.47\%$$

3. Kedalaman 06.00 – 06.45 Meter

$$W_A = \frac{31.48 - 24.75}{24.75 - 9.34} \times 100 \\ = 43.65\%$$

$$W_B = \frac{31.73 - 24.55}{24.55 - 9.28} \times 100 \\ = 47.07\%$$

$$W_C = \frac{31.02 - 24.31}{24.31 - 9.33} \times 100 \\ = 44.78\%$$

$$W_D = \frac{30.95 - 24.43}{24.43 - 9.22} \times 100 \\ = 42.89\%$$

$$W_E = \frac{31.59 - 24.76}{24.76 - 9.28} \times 100 \\ = 44.07\%$$

$$W = \frac{43.65 + 47.07 + 44.78 + 42.89 + 44.07}{5} = 44.49\%$$

4. Kedalaman 08.00 – 08.45 Meter

$$W_A = \frac{62.30 - 38.12}{38.12 - 8.38} \times 100 \\ = 81.31\%$$

$$W_B = \frac{52.55 - 35.05}{35.05 - 8.35} \times 100 \\ = 65.54\%$$

$$W_C = \frac{53.76 - 35.41}{35.41 - 8.40} \times 100 \\ = 67.94\%$$

$$W_D = \frac{51.97 - 32.87}{32.87 - 8.85} \times 100 \\ = 79.52\%$$

$$W_E = \frac{62.71 - 38.60}{38.60 - 8.39} \times 100 \\ = 79.81\%$$

$$W = \frac{81.31 + 65.54 + 67.94 + 79.52 + 79.81}{5} = 74.83\%$$

5. Kedalaman 11.00 – 11.45 Meter

$$W_A = \frac{42.77 - 26.74}{26.74 - 8.34} \times 100 \\ = 87.12\%$$

$$W_B = \frac{34.45 - 23.31}{23.31 - 8.32} \times 100 \\ = 74.32\%$$

$$W_C = \frac{25.01 - 19.09}{19.09 - 8.39} \times 100 \\ = 55.33\%$$

$$W_D = \frac{50.24 - 31.59}{31.59 - 8.51} \times 100 \\ = 80.81\%$$

$$W_E = \frac{39.10 - 25.59}{25.59 - 8.33} \times 100 \\ = 78.27\%$$

$$W = \frac{87.12 + 74.32 + 55.33 + 80.81 + 78.27}{5} = 75.17\%$$

6. Kedalaman 13.00 – 13.45 Meter

$$W_A = \frac{54.23 - 31.92}{31.92 - 8.41} \times 100 \\ = 94.90\%$$

$$W_B = \frac{56.42 - 32.84}{32.84 - 8.37} \times 100 \\ = 96.38\%$$

$$W_C = \frac{61.18 - 35.23}{35.23 - 8.47} \times 100 \\ = 97.03\%$$

$$W_D = \frac{55.93 - 32.38}{32.38 - 8.38} \times 100 \\ = 98.17\%$$

$$W_E = \frac{52.09 - 31.55}{31.55 - 8.36} \times 100 \\ = 88.56\%$$

$$W = \frac{94.90 + 96.38 + 97.03 + 98.17 + 88.56}{5} = 95.01\%$$

7. Kedalaman 15.00 – 15.45 Meter

$$W_A = \frac{37.71 - 23.35}{23.35 - 8.33} \times 100 \\ = 95.57\%$$

$$W_B = \frac{42.13 - 27.04}{27.04 - 8.39} \times 100 \\ = 80.95\%$$

$$W_C = \frac{39.72 - 25.41}{25.41 - 8.34} \times 100 \\ = 83.85\%$$

$$W_D = \frac{37.26 - 24.79}{24.79 - 8.32} \times 100 \\ = 75.76\%$$

$$W_E = \frac{44.81 - 27.90}{27.90 - 8.51} \times 100 \\ = 87.26\%$$

$$W = \frac{95.57 + 80.95 + 83.85 + 75.76 + 87.26}{5} = 84.68\%$$

8. Kedalaman 17.00 – 17.45 Meter

$$W_A = \frac{40.25 - 26.06}{26.06 - 9.34} \times 100 \\ = 84.84\%$$

$$W_B = \frac{37.71 - 24.92}{24.92 - 9.28} \times 100 \\ = 81.74\%$$

$$W_C = \frac{36.11 - 24.39}{24.39 - 9.33} \times 100 \\ = 77.76\%$$

$$W_D = \frac{37.51 - 25.03}{25.03 - 9.22} \times 100 \\ = 78.93\%$$

$$W_E = \frac{40.80 - 26.66}{26.66 - 9.28} \times 100 \\ = 81.32\%$$

$$W = \frac{84.84 + 81.74 + 77.76 + 78.93 + 81.32}{5} = 80.92\%$$

9. Kedalaman 19.00 – 19.45 Meter

$$W_A = \frac{48.69 - 31.06}{31.06 - 8.38} \times 100 \\ = 77.74\%$$

$$W_B = \frac{49.99 - 32.42}{32.42 - 8.44} \times 100 \\ = 73.23\%$$

$$W_C = \frac{47.88 - 30.52}{30.52 - 8.36} \times 100 \\ = 78.35\%$$

$$W_D = \frac{59.24 - 35.70}{35.70 - 8.46} \times 100 \\ = 86.39\%$$

$$W_E = \frac{49.64 - 32.08}{32.08 - 8.41} \times 100 \\ = 74.22\%$$

$$W = \frac{77.74 + 73.23 + 78.35 + 86.39 + 74.22}{5} = 77.99\%$$

10. Kedalaman 21.00 – 21.45 Meter

$$W_A = \frac{33.32 - 21.21}{21.21 - 8.42} \times 100 \\ = 94.71\%$$

$$W_B = \frac{33.03 - 21.15}{21.15 - 8.28} \times 100 \\ = 92.25\%$$

$$W_C = \frac{25.53 - 17.99}{17.99 - 8.43} \times 100 \\ = 78.89\%$$

$$W_D = \frac{32.45 - 21.88}{21.88 - 8.33} \times 100 \\ = 77.97\%$$

$$W_E = \frac{32.84 - 20.72}{20.72 - 8.33} \times 100 \\ = 97.77\%$$

$$W = \frac{94.71 + 92.25 + 78.89 + 77.97 + 97.77}{5} = 88.32\%$$

11. Kedalaman 23.00 – 23.45 Meter

$$W_A = \frac{46.47 - 29.62}{29.62 - 8.40} \times 100 \\ = 79.42\%$$

$$W_B = \frac{59.13 - 34.40}{34.40 - 8.46} \times 100 \\ = 95.32\%$$

$$W_C = \frac{61.82 - 41.62}{41.62 - 8.43} \times 100 \\ = 60.85\%$$

$$W_D = \frac{60.13 - 34.97}{34.97 - 8.40} \times 100 \\ = 94.72\%$$

$$W_E = \frac{51.19 - 30.23}{30.23 - 8.39} \times 100 \\ = 96.01\%$$

$$W = \frac{79.42 + 95.32 + 60.85 + 94.71 + 96.01}{5} = 85.26\%$$

12. Kedalaman 27.00 – 27.45 Meter

$$W_A = \frac{49.79 - 34.97}{34.97 - 8.34} \times 100 \\ = 55.65\%$$

$$W_B = \frac{49.00 - 34.16}{34.16 - 8.32} \times 100 \\ = 57.43\%$$

$$W_C = \frac{49.82 - 33.25}{33.25 - 8.39} \times 100 \\ = 66.65\%$$

$$W_D = \frac{43.88 - 30.89}{30.81 - 8.51} \times 100 \\ = 58.04\%$$

$$W_E = \frac{56.82 - 45.63}{45.63 - 8.33} \times 100 \\ = 30\%$$

$$W = \frac{55.65 + 57.43 + 66.65 + 58.04 + 30}{5} = 53.56\%$$

Lampiran 4 Perhitungan *Specific Gravity*

Berat jenis tanah pada suhu t°C dapat dihitung dengan persamaan dengan rumus (Hawanto *et al.*, 2021):

$$G = \frac{W_2 - W_1}{(W_4 - W_1) - (W_3 - W_2)}$$

Dimana,

G = Berat jenis tanah

W_1 = Berat piknometer kosong (gr)

W_2 = Berat piknometer kosong + tanah kering (gr)

W_3 = Berat piknometer kosong + tanah + air (gr)

W_4 = Berat piknometer kosong + air (gr)

1. Kedalaman 01.55 – 02.00 Meter

$$G_A = \frac{131.36 - 106.35}{(355.27 - 106.35) - (373.10 - 131.36)} \\ = 3.48 \text{ Mg/m}^3$$

$$G_B = \frac{133.37 - 108.41}{(357.21 - 108.41) - (372.12 - 133.37)} \\ = 3.54 \text{ Mg/m}^3$$

$$G_C = \frac{131.42 - 106.42}{(355.24 - 106.42) - (373.10 - 131.42)} \\ = 3.50 \text{ Mg/m}^3$$

$$G = \frac{3.48 + 3.54 + 3.50}{3} = 3.51 \text{ Mg/m}^3$$

2. Kedalaman 03.50 – 04.00 Meter

$$G_A = \frac{131.24 - 106.32}{(355.13 - 106.32) - (371.29 - 131.24)} \\ = 2.85 \text{ Mg/m}^3$$

$$G_B = \frac{133.29 - 108.31}{(354.81 - 108.31) - (370.80 - 133.29)} \\ = 2.78 \text{ Mg/m}^3$$

$$G_C = \frac{129.75 - 104.74}{(352.96 - 104.74) - (368.98 - 129.75)} \\ = 2.78 \text{ Mg/m}^3$$

$$G = \frac{2.85 + 2.78 + 2.78}{3} = 2.8 \text{ Mg/m}^3$$

3. Kedalaman 06.00 – 06.45 Meter

$$G_A = \frac{131.16 - 106.20}{(353.70 - 106.20) - (371.01 - 131.16)} \\ = 3.26 \text{ Mg/m}^3$$

$$G_B = \frac{133.18 - 108.22}{(355.98 - 108.22) - (373.31 - 133.18)} \\ = 3.27 \text{ Mg/m}^3$$

$$G_C = \frac{130.23 - 104.66}{(352.15 - 104.66) - (370.05 - 130.23)}$$

$$= 3.34 \text{ Mg/m}^3$$

$$G = \frac{3.26+3.27+3.34}{3} = 3.29 \text{ Mg/m}^3$$

4. Kedalaman 08.00 – 08.45 Meter

$$G_A = \frac{133.18 - 108.22}{(356.73 - 108.22) - (374.16 - 133.18)}$$

$$= 3.31 \text{ Mg/m}^3$$

$$G_B = \frac{122.45 - 97.44}{(345.93 - 97.44) - (363.62 - 122.45)}$$

$$= 3.42 \text{ Mg/m}^3$$

$$G_C = \frac{133.20 - 108.19}{(356.71 - 108.19) - (374.25 - 132.20)}$$

$$= 3.35 \text{ Mg/m}^3$$

$$G = \frac{3.31+3.42+3.35}{3} = 3.36 \text{ Mg/m}^3$$

5. Kedalaman 11.00 – 11.45 Meter

$$G_A = \frac{131.24 - 106.32}{(355.13 - 106.32) - (370.59 - 131.24)}$$

$$= 2.63 \text{ Mg/m}^3$$

$$G_B = \frac{133.29 - 108.31}{(354.81 - 108.31) - (370.10 - 133.29)}$$

$$= 2.58 \text{ Mg/m}^3$$

$$G_C = \frac{129.75 - 104.74}{(352.96 - 104.74) - (368.48 - 129.75)}$$

$$= 2.64 \text{ Mg/m}^3$$

$$G = \frac{2.63+2.58+2.64}{3} = 2.62 \text{ Mg/m}^3$$

6. Kedalaman 13.00 – 13.45 Meter

$$G_A = \frac{129.96 - 104.96}{(353.61 - 104.96) - (371.19 - 129.96)}$$

$$= 3.37 \text{ Mg/m}^3$$

$$G_B = \frac{130.50 - 105.53}{(354.27 - 105.53) - (371.29 - 130.50)}$$

$$= 3.15 \text{ Mg/m}^3$$

$$G_C = \frac{131.42 - 106.42}{(355.24 - 106.42) - (372.44 - 131.42)}$$

$$= 3.21 \text{ Mg/m}^3$$

$$G = \frac{3.37+3.14+3.21}{3} = 3.24 \text{ Mg/m}^3$$

7. Kedalaman 15.00 – 15.45 Meter

$$G_A = \frac{131.24 - 106.32}{(355.13 - 106.32) - (372.49 - 131.24)}$$

$$= 3.30 \text{ Mg/m}^3$$

$$G_B = \frac{133.29 - 108.31}{(354.81 - 108.31) - (372 - 133.29)}$$

$$= 3.21 \text{ Mg/m}^3$$

$$\begin{aligned} G_C &= \frac{129.75 - 104.74}{(352.96 - 104.74) - (370.18 - 129.75)} \\ &= 3.21 \text{ Mg/m}^3 \\ G &= \frac{3.30 + 3.21 + 3.21}{3} = 3.24 \text{ Mg/m}^3 \end{aligned}$$

8. Kedalaman 17.00 – 17.45 Meter

$$\begin{aligned} G_A &= \frac{131.17 - 106.04}{(353.71 - 106.04) - (371.08 - 131.17)} \\ &= 3.24 \text{ Mg/m}^3 \\ G_B &= \frac{133.11 - 108.11}{(355.71 - 108.11) - (372.97 - 133.11)} \\ &= 3.23 \text{ Mg/m}^3 \\ G_C &= \frac{129.71 - 104.56}{(352.08 - 104.56) - (369.38 - 129.71)} \\ &= 3.21 \text{ Mg/m}^3 \\ G &= \frac{3.24 + 3.23 + 3.21}{3} = 3.22 \text{ Mg/m}^3 \end{aligned}$$

9. Kedalaman 19.00 – 19.45 Meter

$$\begin{aligned} G_A &= \frac{133.52 - 108.51}{(354.85 - 108.51) - (372.21 - 133.52)} \\ &= 3.27 \text{ Mg/m}^3 \\ G_B &= \frac{130.09 - 105.10}{(353.55 - 105.10) - (370.37 - 130.09)} \\ &= 3.06 \text{ Mg/m}^3 \\ G_C &= \frac{133.43 - 108.44}{(354.83 - 108.44) - (372.14 - 133.43)} \\ &= 3.25 \text{ Mg/m}^3 \\ G &= \frac{3.27 + 3.06 + 3.25}{3} = 3.19 \text{ Mg/m}^3 \end{aligned}$$

10. Kedalaman 21.00 – 21.45 Meter

$$\begin{aligned} G_A &= \frac{131.24 - 106.32}{(355.13 - 106.32) - (370.30 - 131.24)} \\ &= 2.56 \text{ Mg/m}^3 \\ G_B &= \frac{133.29 - 108.31}{(354.81 - 108.31) - (370.10 - 133.29)} \\ &= 2.58 \text{ Mg/m}^3 \\ G_C &= \frac{129.75 - 104.74}{(352.96 - 104.74) - (368.08 - 129.75)} \\ &= 2.53 \text{ Mg/m}^3 \\ G &= \frac{2.56 + 2.58 + 2.53}{3} = 2.55 \text{ Mg/m}^3 \end{aligned}$$

11. Kedalaman 23.00 – 23.45 Meter

$$\begin{aligned} G_A &= \frac{131.78 - 106.76}{(355.25 - 106.76) - (372.40 - 131.78)} \\ &= 3.18 \text{ Mg/m}^3 \end{aligned}$$

$$G_B = \frac{133.70 - 108.71}{(357.12 - 108.71) - (373.90 - 133.70)}$$

$$= 3.04 \text{ Mg/m}^3$$

$$G_C = \frac{131.42 - 106.42}{(355.25 - 106.42) - (372.31 - 131.42)}$$

$$= 3.14 \text{ Mg/m}^3$$

$$G = \frac{3.18 + 3.04 + 3.14}{3} = 3.12 \text{ Mg/m}^3$$

12. Kedalaman 27.00 – 27.45 Meter

$$G_A = \frac{131.24 - 106.32}{(355.13 - 106.32) - (372.21 - 131.24)}$$

$$= 3.40 \text{ Mg/m}^3$$

$$G_B = \frac{133.29 - 108.31}{(354.81 - 108.31) - (372.60 - 133.29)}$$

$$= 3.47 \text{ Mg/m}^3$$

$$G_C = \frac{129.75 - 104.74}{(352.96 - 104.74) - (370.48 - 129.75)}$$

$$= 3.34 \text{ Mg/m}^3$$

$$G = \frac{3.40 + 3.47 + 3.34}{3} = 3.40 \text{ Mg/m}^3$$

Lampiran 5 Perhitungan Analisis Saringan dan Hidrometer

Analisis saringan dipergunakan untuk mengetahui distribusi ukuran butiran tanah yang berbutir kasar (*granular*), yang dilakukan terhadap sampel tanah yang kering. Analisis hidrometer dilakukan untuk mengetahui distribusi ukuran butir tanah yang berbutir halus atau bagian halus dari tanah berbutir campuran. Persentase distribusi butir dapat dihitung dengan perhitungan berikut:

$$\text{Gravel} = \% \text{ Retained Cumulative Weight sieve No.4}$$

$$\text{Sand} = \% \text{ Retained Cumulative Weight sieve No.200} - \% \text{ Gravel}$$

$$\text{Clay} = \% \text{ Finer Time 1440 Minute}$$

$$\text{Silt} = \% \text{ Finer analysis sieve No.200} - \% \text{ Clay}$$

Keterangan:

$$\text{Gravel} = 0\%$$

1. Kedalaman 01.55 – 02.00 Meter

$$\text{Sand} = 1 - 0$$

$$= 1\%$$

$$\text{Clay} = 11.03\%$$

$$\text{Silt} = 99 - 11$$

$$= 88\%$$

2. Kedalaman 03.50 – 04.00 Meter

$$\text{Sand} = 5.9 - 0$$

$$= 5.9\%$$

$$\text{Clay} = 17.1 \%$$

$$\text{Silt} = 94.1 - 17.1$$

$$= 77\%$$

3. Kedalaman 06.00 – 06.45 Meter

$$\text{Sand} = 2.1 - 0$$

$$= 2.1\%$$

$$\text{Clay} = 16.5 \%$$

$$\text{Silt} = 97.9 - 16.5$$

$$= 81.4\%$$

4. Kedalaman 08.00 – 08.45 Meter

$$\text{Sand} = 1.3 - 0$$

$$= 1.3\%$$

$$\text{Clay} = 11.2 \%$$

$$\text{Silt} = 98.7 - 11.2$$

$$= 87.5\%$$

5. Kedalaman 11.00 – 11.45 Meter

$$Sand = 6.3 - 0$$

$$= 6.3\%$$

$$Clay = 15.8\%$$

$$Silt = 93.6 - 15.8$$

$$= 77.8\%$$

6. Kedalaman 13.00 – 13.45 Meter

$$Sand = 1.5 - 0$$

$$= 1.5\%$$

$$Clay = 2.5\%$$

$$Silt = 98.5 - 2.5$$

$$= 96\%$$

7. Kedalaman 15.00 – 15.45 Meter

$$Sand = 2.4 - 0$$

$$= 2.4\%$$

$$Clay = 11.3\%$$

$$Silt = 97.6 - 11.3$$

$$= 86.3\%$$

8. Kedalaman 17.00 – 17.45 Meter

$$Sand = 4.2 - 0$$

$$= 4.2\%$$

$$Clay = 7.6\%$$

$$Silt = 95.8 - 7.6$$

$$= 88.2\%$$

9. Kedalaman 19.00 – 19.45 Meter

$$Sand = 1.3 - 0$$

$$= 1.3\%$$

$$Clay = 2.5\%$$

$$Silt = 98.7 - 2.5$$

$$= 96.2\%$$

10. Kedalaman 21.00 – 21.45 Meter

$$Sand = 3.3 - 0$$

$$= 3.3\%$$

$$Clay = 10.7\%$$

$$Silt = 96.7 - 10.7$$

$$= 86\%$$

11. Kedalaman 23.00 – 23.45 Meter

$$Sand = 2.8 - 0$$

$$= 2.8\%$$

$$Clay = 0.7\%$$

$$Silt = 97.2 - 0.7$$

$$= 96.5\%$$

12. Kedalaman 27.00 – 27.45 Meter

$$Sand = 6.1 - 0$$

$$= 6.1\%$$

$$Clay = 8.9\%$$

$$Silt = 93.9 - 8.9$$

$$= 85\%$$

Lampiran 6 Perhitungan Analisis Batas Atterberg

Perhitungan batas *Atterberg* diantaranya (PT. Vale Indonesia Tbk., 2022):

$$W (\%) = \frac{M_2 - M_3}{M_3 - M_1} \times 100$$

$$LL = a \ln(25) + b$$

$$PL (\%) = \frac{M_2 - M_3}{M_3 - M_1} \times 100$$

$$IP (\%) = LL - PL$$

Dimana,

W = Kadar air tanah asli (%)

M_1 = Berat cawan kosong (gr)

M_2 = Berat cawan + tanah basah (gr)

M_3 = Berat cawan + tanah kering (gr)

LL = Batas cair tanah

PL = Batas Plastis

IP = Indeks Plastis

1. Kedalaman 01.55 – 02.00 Meter

a. Batas cair

$$W_A = \frac{21.39 - 15.46}{15.46 - 6.61} \times 100 \\ = 66.92\%$$

$$W_B = \frac{19.43 - 14.33}{14.33 - 6.56} \times 100 \\ = 65.62\%$$

$$W_C = \frac{17.24 - 13.09}{13.09 - 6.60} \times 100 \\ = 63.91\%$$

$$W_D = \frac{15.19 - 11.84}{11.84 - 6.44} \times 100 \\ = 61.87\%$$

$$W_E = \frac{13.59 - 10.97}{10.97 - 6.70} \times 100 \\ = 61.32\%$$

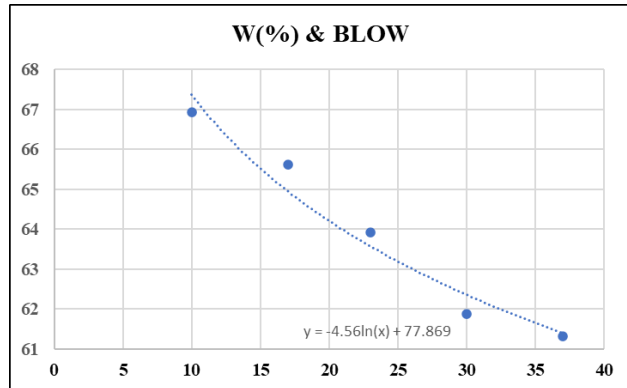
$$LL = -4.56 \ln (25) + 77.869$$

$$= 63.19\%$$

b. Batas plastis

$$W_A = \frac{3.38 - 3.09}{3.09 - 2.46} \times 100 \\ = 46.21\%$$

$$W_B = \frac{3.43 - 3.16}{3.16 - 2.52} \times 100 \\ = 43.60\%$$



$$W_C = \frac{4.79 - 4.47}{4.47 - 3.77} \times 100$$

$$= 45.17\%$$

$$W_D = \frac{3.34 - 3.07}{3.07 - 2.49} \times 100$$

$$= 46.19\%$$

$$W_E = \frac{3.42 - 3.13}{3.13 - 2.54} \times 100$$

$$= 48.90\%$$

$$PL = \frac{46.21 + 43.60 + 45.17 + 46.19 + 48.90}{5} = 46.02\%$$

$$IP = 63.19 - 46.02 = 17.17\%$$

2. Kedalaman 03.50 – 04.00 Meter

1. Batas cair

$$W_A = \frac{20.82 - 14.90}{14.90 - 8.35} \times 100$$

$$= 90.49\%$$

$$W_B = \frac{18.69 - 13.92}{13.92 - 8.42} \times 100$$

$$= 86.96\%$$

$$W_C = \frac{16.76 - 12.89}{12.89 - 8.33} \times 100$$

$$= 84.72\%$$

$$W_D = \frac{14.75 - 11.84}{11.84 - 8.37} \times 100$$

$$= 83.59\%$$

$$W_E = \frac{12.49 - 10.65}{10.65 - 8.39} \times 100$$

$$= 81.77\%$$

$$LL = -6.327 \ln(25) + 104.41$$

$$= 84.04\%$$

2. Batas plastis

$$W_A = \frac{2.77 - 2.65}{2.65 - 2.45} \times 100$$

$$= 62.56\%$$

$$W_B = \frac{2.71 - 2.61}{2.61 - 2.47} \times 100$$

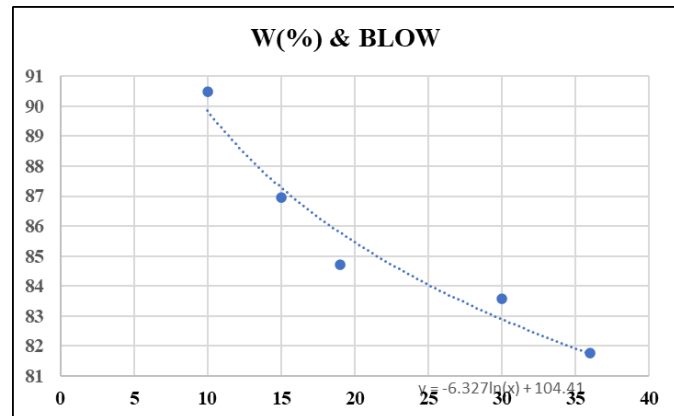
$$= 65.52\%$$

$$W_C = \frac{2.74 - 2.63}{2.63 - 2.46} \times 100$$

$$= 66.47\%$$

$$W_D = \frac{2.76 - 2.63}{2.63 - 2.43} \times 100$$

$$= 65.13\%$$



$$W_E = \frac{2.77 - 2.66}{2.66 - 2.48} \times 100$$

$$= 66.10\%$$

$$PL = \frac{62.56 + 65.52 + 66.46 + 65.13 + 66.10}{5} = 65.15\%$$

$$IP = 84.04 - 65.15 = 18.89\%$$

3. Kedalaman 06.00 – 06.45 Meter

1. Batas cair

$$W_A = \frac{22.13 - 16.12}{16.12 - 9.29} \times 100$$

$$= 88.00\%$$

$$W_B = \frac{20.05 - 15.27}{15.27 - 9.47} \times 100$$

$$= 82.42\%$$

$$W_C = \frac{18.62 - 14.56}{14.56 - 9.37} \times 100$$

$$= 78.25\%$$

$$W_D = \frac{16.28 - 13.40}{13.40 - 9.34} \times 100$$

$$= 71.10\%$$

$$W_E = \frac{14.39 - 12.31}{12.31 - 9.29} \times 100$$

$$= 68.91\%$$

$$LL = -15.23 \ln(25) + 123.39$$

$$= 74.37\%$$

2. Batas plastis

$$W_A = \frac{6.45 - 6.13}{6.13 - 5.55} \times 100$$

$$= 52.89\%$$

$$W_B = \frac{6.29 - 6.02}{6.02 - 5.50} \times 100$$

$$= 51.35\%$$

$$W_C = \frac{6.27 - 6.01}{6.01 - 5.48} \times 100$$

$$= 50\%$$

$$W_D = \frac{6.21 - 5.97}{5.97 - 5.49} \times 100$$

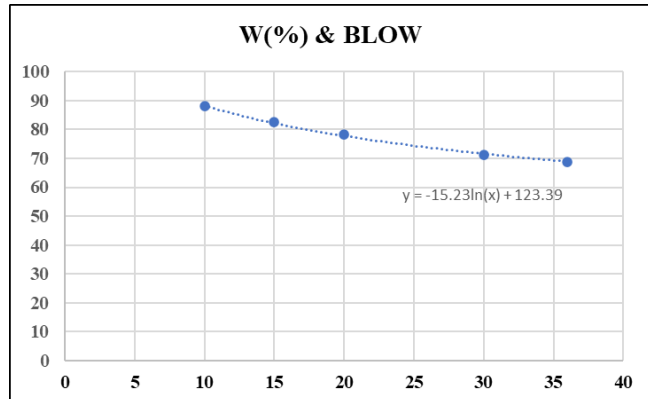
$$= 49.79\%$$

$$W_E = \frac{6.19 - 5.93}{5.93 - 5.45} \times 100$$

$$= 52.69\%$$

$$PL = \frac{52.89 + 51.35 + 50 + 49.79 + 52.69}{5} = 61.34\%$$

$$IP = 74.37 - 61.34 = 23.02\%$$



4. Kedalaman 08.00 – 08.45 Meter

1. Batas cair

$$W_A = \frac{21.69 - 15.50}{15.50 - 9.18} \times 100 \\ = 97.90\%$$

$$W_B = \frac{19.73 - 14.74}{14.74 - 9.41} \times 100 \\ = 93.85\%$$

$$W_C = \frac{17.81 - 13.92}{13.92 - 9.61} \times 100 \\ = 91.99\%$$

$$W_D = \frac{15.76 - 12.90}{12.90 - 9.66} \times 100 \\ = 88.28\%$$

$$W_E = \frac{13.72 - 11.77}{11.77 - 9.50} \times 100 \\ = 86.15\%$$

$$LL = -8.574 \ln(25) + 117.27 \\ = 89.67\%$$

2. Batas plastis

$$W_A = \frac{3.18 - 2.90}{2.90 - 2.47} \times 100 \\ = 64.66\%$$

$$W_B = \frac{4.35 - 4.07}{4.07 - 3.65} \times 100 \\ = 66.35\%$$

$$W_C = \frac{3.23 - 2.95}{2.95 - 2.50} \times 100 \\ = 62.56\%$$

$$W_D = \frac{3.22 - 2.95}{2.95 - 2.56} \times 100 \\ = 68.62\%$$

$$W_E = \frac{3.27 - 2.97}{2.97 - 2.47} \times 100 \\ = 60.20\%$$

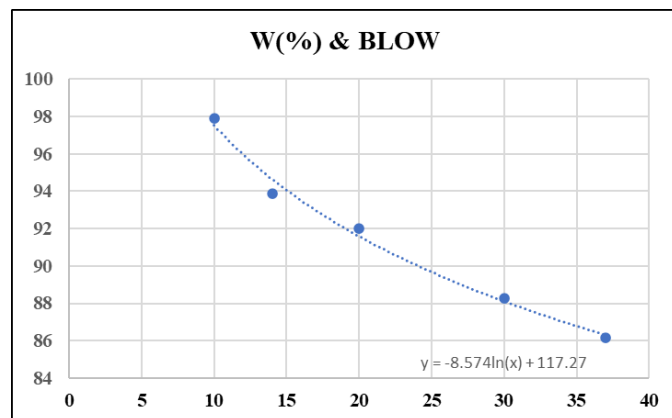
$$PL = \frac{64.66 + 66.35 + 62.56 + 68.62 + 60.20}{5} = 64.48\%$$

$$IP = 89.67 - 64.48 = 25.19\%$$

5. Kedalaman 11.00 – 11.45 Meter

1. Batas cair

$$W_A = \frac{20.31 - 14.69}{14.69 - 8.39} \times 100 \\ = 89.22\%$$



$$W_B = \frac{18.69 - 13.94}{13.94 - 8.33} \times 100$$

$$= 84.85\%$$

$$W_C = \frac{16.37 - 12.89}{12.89 - 8.37} \times 100$$

$$= 76.76\%$$

$$W_D = \frac{14.66 - 11.97}{11.97 - 8.35} \times 100$$

$$= 74.09\%$$

$$W_E = \frac{12.44 - 10.75}{10.75 - 8.33} \times 100$$

$$= 69.90\%$$

$$LL = -17.49 \ln(25) + 132.16$$

$$= 75.86\%$$

2. Batas plastis

$$W_A = \frac{2.74 - 2.64}{2.64 - 2.48} \times 100$$

$$= 62.66\%$$

$$W_B = \frac{2.73 - 2.64}{2.64 - 2.50} \times 100$$

$$= 59.15\%$$

$$W_C = \frac{2.89 - 2.72}{2.72 - 2.48} \times 100$$

$$= 66.80\%$$

$$W_D = \frac{2.80 - 2.69}{2.69 - 2.51} \times 100$$

$$= 64.57\%$$

$$W_E = \frac{2.70 - 2.62}{2.62 - 2.49} \times 100$$

$$= 63.64\%$$

$$PL = \frac{62.66 + 59.15 + 66.80 + 64.57 + 63.64}{5} = 63.36\%$$

$$IP = 75.86 - 63.36 = 12.50\%$$

6. Kedalaman 13.00 – 13.45 Meter

1. Batas cair

$$W_A = \frac{24.82 - 17.44}{17.44 - 9.42} \times 100$$

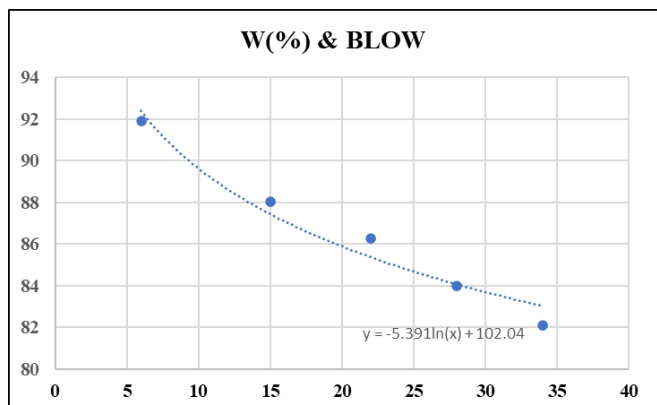
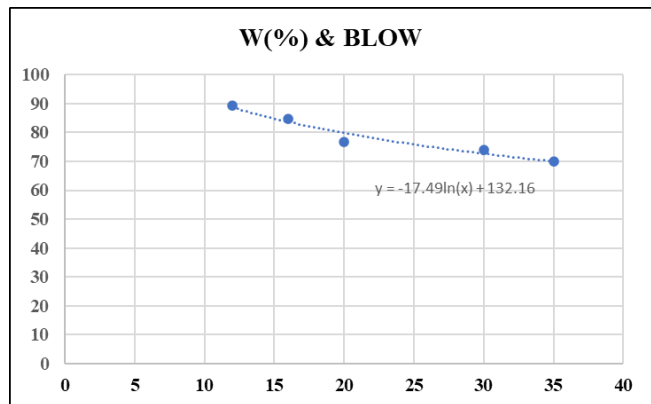
$$= 91.89\%$$

$$W_B = \frac{22.86 - 16.62}{16.62 - 9.53} \times 100$$

$$= 88.02\%$$

$$W_C = \frac{20.62 - 15.52}{15.52 - 9.74} \times 100$$

$$= 86.27\%$$



$$W_D = \frac{18.59 - 14.55}{14.55 - 9.74} \times 100 \\ = 84.02\%$$

$$W_E = \frac{16.64 - 13.47}{13.47 - 9.62} \times 100 \\ = 82.10\%$$

$$LL = -5.391 \ln(25) + 102.04 \\ = 84.69\%$$

2. Batas plastis

$$W_A = \frac{3.23 - 2.97}{2.97 - 2.53} \times 100 \\ = 58.65\%$$

$$W_B = \frac{4.17 - 4.04}{4.04 - 3.80} \times 100 \\ = 58.12\%$$

$$W_C = \frac{3.14 - 2.92}{2.92 - 2.52} \times 100 \\ = 56.96\%$$

$$W_D = \frac{4.46 - 4.20}{4.46 - 3.74} \times 100 \\ = 57.42\%$$

$$W_E = \frac{4.42 - 4.15}{4.15 - 3.69} \times 100 \\ = 58.40\%$$

$$PL = \frac{58.65 + 58.12 + 56.96 + 57.42 + 58.40}{5} = 57.91\%$$

$$IP = 84.69 - 57.91 = 26.78\%$$

7. Kedalaman 15.00 – 15.45 Meter

1. Batas cair

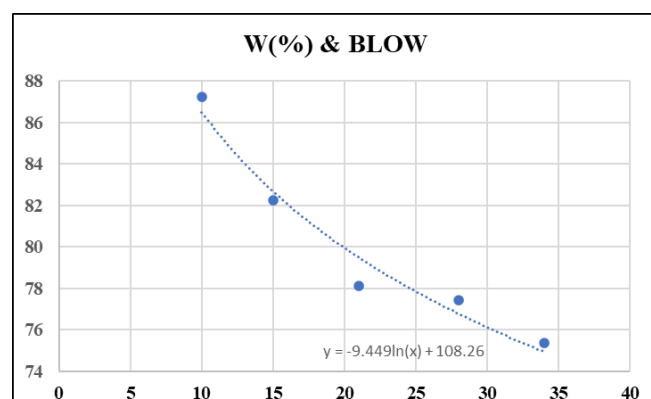
$$W_A = \frac{20.36 - 14.78}{14.78 - 8.39} \times 100 \\ = 87.22\%$$

$$W_B = \frac{18.76 - 14.05}{14.05 - 8.33} \times 100 \\ = 82.25\%$$

$$W_C = \frac{16.38 - 12.83}{12.83 - 8.28} \times 100 \\ = 78.14\%$$

$$W_D = \frac{14.98 - 12.07}{12.07 - 8.31} \times 100 \\ = 77.42\%$$

$$W_E = \frac{12.53 - 10.73}{10.73 - 8.35} \times 100 \\ = 75.36\%$$



$$\begin{aligned} LL &= -9.449 \ln(25) + 108.26 \\ &= 77.84\% \end{aligned}$$

2. Batas plastis

$$\begin{aligned} W_A &= \frac{2.69 - 2.60}{2.60 - 2.48} \times 100 \\ &= 68.75\% \end{aligned}$$

$$\begin{aligned} W_B &= \frac{2.78 - 2.67}{2.67 - 2.50} \times 100 \\ &= 70.37\% \end{aligned}$$

$$\begin{aligned} W_C &= \frac{2.80 - 2.69}{2.69 - 2.53} \times 100 \\ &= 70.57\% \end{aligned}$$

$$\begin{aligned} W_D &= \frac{2.73 - 2.62}{2.62 - 2.47} \times 100 \\ &= 70.59\% \end{aligned}$$

$$\begin{aligned} W_E &= \frac{2.82 - 2.68}{2.68 - 2.48} \times 100 \\ &= 68.96\% \end{aligned}$$

$$PL = \frac{68.75 + 70.37 + 74.19 + 70.58 + 68.96}{5} = 70.57\%$$

$$IP = 77.84 - 70.57 = 7.27\%$$

8. Kedalaman 17.00 – 17.45 Meter

1. Batas cair

$$\begin{aligned} W_A &= \frac{22.89 - 17.07}{17.07 - 9.29} \times 100 \\ &= 74.84\% \end{aligned}$$

$$\begin{aligned} W_B &= \frac{20.22 - 15.86}{15.86 - 9.47} \times 100 \\ &= 68.23\% \end{aligned}$$

$$\begin{aligned} W_C &= \frac{18.39 - 14.78}{14.78 - 9.37} \times 100 \\ &= 66.88\% \end{aligned}$$

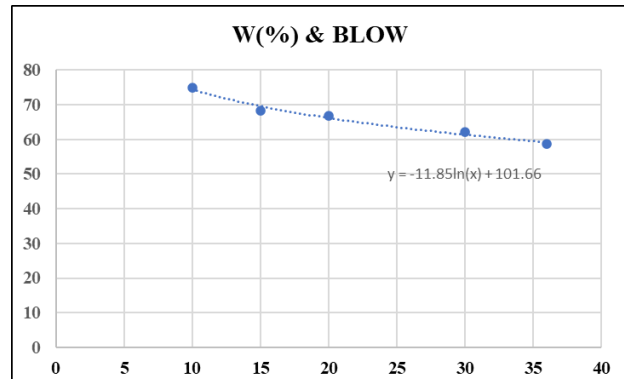
$$\begin{aligned} W_D &= \frac{16.52 - 13.77}{13.77 - 9.34} \times 100 \\ &= 62.05\% \end{aligned}$$

$$\begin{aligned} W_E &= \frac{14.71 - 12.71}{12.71 - 9.29} \times 100 \\ &= 58.60\% \end{aligned}$$

$$\begin{aligned} LL &= -11.85 \ln(25) + 101.66 \\ &= 63.52\% \end{aligned}$$

2. Batas plastis

$$\begin{aligned} W_A &= \frac{6.00 - 5.87}{5.87 - 5.55} \times 100 \\ &= 42.32\% \end{aligned}$$



$$W_B = \frac{5.91 - 5.78}{5.78 - 5.50} \times 100$$

$$= 46.04\%$$

$$W_C = \frac{6.03 - 5.86}{5.86 - 5.49} \times 100$$

$$= 45.48\%$$

$$W_D = \frac{6.04 - 5.86}{5.86 - 5.49} \times 100$$

$$= 47.47\%$$

$$W_E = \frac{6.02 - 5.82}{5.82 - 5.45} \times 100$$

$$= 55.86\%$$

$$PL = \frac{42.32 + 46.04 + 45.48 + 47.47 + 55.86}{5} = 47.43\%$$

$$IP = 63.52 - 47.43 = 16.09\%$$

9. Kedalaman 19.00 – 19.45 Meter

1. Batas cair

$$W_A = \frac{20.84 - 13.92}{13.92 - 6.52} \times 100$$

$$= 93.46\%$$

$$W_B = \frac{18.25 - 12.78}{12.78 - 6.58} \times 100$$

$$= 88.21\%$$

$$W_C = \frac{16.85 - 12.17}{12.17 - 6.61} \times 100$$

$$= 84.16\%$$

$$W_D = \frac{14.18 - 10.75}{10.75 - 6.59} \times 100$$

$$= 82.59\%$$

$$W_E = \frac{12.39 - 9.87}{9.87 - 6.58} \times 100$$

$$= 76.58\%$$

$$LL = -10.49 \ln(25) + 115.52$$

$$= 81.75\%$$

2. Batas plastis

$$W_A = \frac{4.56 - 4.24}{4.24 - 3.73} \times 100$$

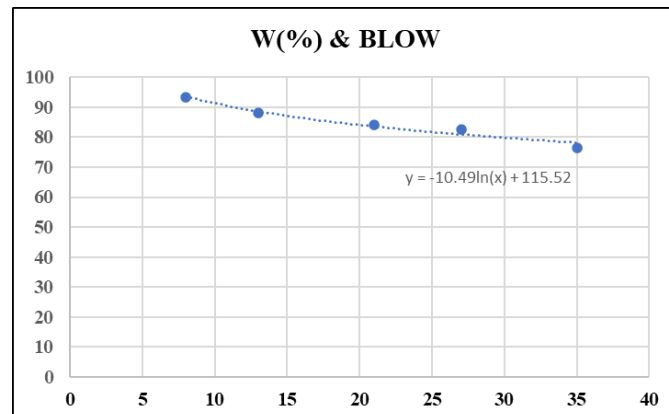
$$= 61.76\%$$

$$W_B = \frac{4.46 - 4.16}{4.16 - 3.62} \times 100$$

$$= 56.42\%$$

$$W_C = \frac{3.10 - 2.85}{2.85 - 2.44} \times 100$$

$$= 61.03\%$$



$$W_D = \frac{3.19 - 2.91}{2.91 - 2.45} \times 100$$

$$= 60.91\%$$

$$W_E = \frac{3.17 - 2.93}{2.93 - 2.53} \times 100$$

$$= 59.15\%$$

$$PL = \frac{61.76 + 56.42 + 61.02 + 60.91 + 59.15}{5} = 59.85\%$$

$$IP = 81.75 - 59.85 = 21.90\%$$

10. Kedalaman 21.00 – 21.45 Meter

1. Batas cair

$$W_A = \frac{20.88 - 14.73}{14.73 - 8.36} \times 100$$

$$= 96.50\%$$

$$W_B = \frac{18.74 - 13.73}{13.73 - 8.33} \times 100$$

$$= 92.91\%$$

$$W_C = \frac{16.25 - 12.46}{12.46 - 8.37} \times 100$$

$$= 92.61\%$$

$$W_D = \frac{14.03 - 11.32}{11.32 - 8.32} \times 100$$

$$= 89.98\%$$

$$W_E = \frac{13.00 - 10.82}{10.82 - 8.39} \times 100$$

$$= 89.76\%$$

$$LL = -4.515 \ln(25) + 105.33$$

$$= 90.80\%$$

2. Batas plastis

$$W_A = \frac{2.82 - 2.70}{2.70 - 2.54} \times 100$$

$$= 73.29\%$$

$$W_B = \frac{2.63 - 2.56}{2.56 - 2.48} \times 100$$

$$= 82.14\%$$

$$W_C = \frac{2.63 - 2.57}{2.57 - 2.48} \times 100$$

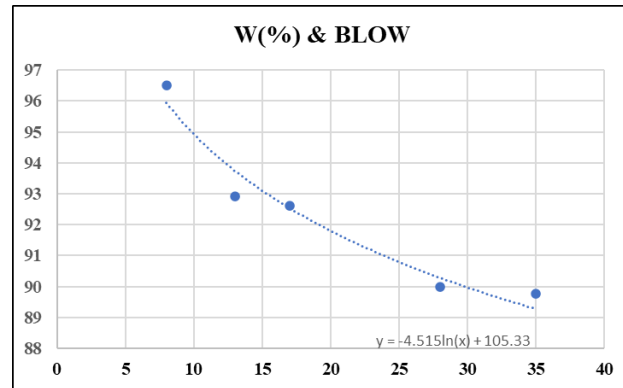
$$= 74.70\%$$

$$W_D = \frac{2.58 - 2.52}{2.52 - 2.43} \times 100$$

$$= 71.26\%$$

$$W_E = \frac{2.72 - 2.63}{2.63 - 2.51} \times 100$$

$$= 73.55\%$$



$$PL = \frac{73.29 + 82.14 + 74.70 + 71.26 + 73.55}{5} = 74.99\%$$

$$IP = 90.80 - 74.99 = 21.90\%$$

11. Kedalaman 23.00 – 23.45 Meter

1. Batas cair

$$W_A = \frac{21.77 - 14.54}{14.54 - 9.42} \times 100 \\ = 141.27\%$$

$$W_B = \frac{19.69 - 14.00}{14.00 - 9.66} \times 100 \\ = 131.06\%$$

$$W_C = \frac{17.25 - 12.78}{12.78 - 9.18} \times 100 \\ = 123.96\%$$

$$W_D = \frac{15.68 - 12.32}{12.32 - 9.49} \times 100 \\ = 119.09\%$$

$$W_E = \frac{13.74 - 11.60}{11.60 - 9.68} \times 100 \\ = 111.14\%$$

$$LL = -17.75 \ln(25) + 177.06$$

$$= 119.92\%$$

2. Batas plastis

$$W_A = \frac{3.15 - 2.86}{2.86 - 2.47} \times 100 \\ = 76.23\%$$

$$W_B = \frac{4.12 - 3.92}{3.92 - 3.65} \times 100 \\ = 75.09\%$$

$$W_C = \frac{3.19 - 2.89}{2.89 - 2.49} \times 100 \\ = 74.62\%$$

$$W_D = \frac{3.10 - 2.82}{2.82 - 2.47} \times 100 \\ = 78.93\%$$

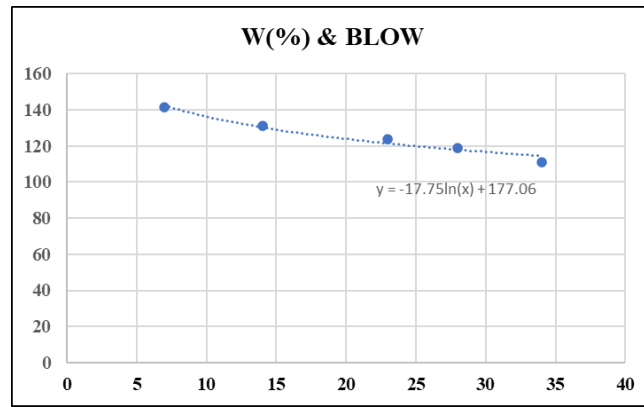
$$W_E = \frac{3.24 - 2.94}{2.94 - 2.52} \times 100 \\ = 71.70\%$$

$$PL = \frac{76.23 + 75.09 + 74.62 + 78.93 + 71.90}{5} = 75.31\%$$

$$IP = 119.92 - 75.31 = 44.61\%$$

12. Kedalaman 27.00 – 27.45 Meter

1. Batas cair



$$W_A = \frac{20.66 - 15.20}{15.20 - 8.32} \times 100 \\ = 79.44\%$$

$$W_B = \frac{18.04 - 13.86}{13.86 - 8.39} \times 100 \\ = 79.43\%$$

$$W_C = \frac{16.28 - 12.87}{12.87 - 8.31} \times 100 \\ = 74.59\%$$

$$W_D = \frac{14.88 - 12.15}{12.15 - 8.41} \times 100 \\ = 73.00\%$$

$$W_E = \frac{12.78 - 10.94}{10.94 - 8.33} \times 100 \\ = 70.23\%$$

$$LL = -7.094 \ln(25) + 96.086 \\ = 73.25\%$$

2. Batas plastis

$$W_A = \frac{2.86 - 2.76}{2.76 - 2.50} \times 100 \\ = 40.54\%$$

$$W_B = \frac{2.84 - 2.74}{2.74 - 2.51} \times 100 \\ = 41.81\%$$

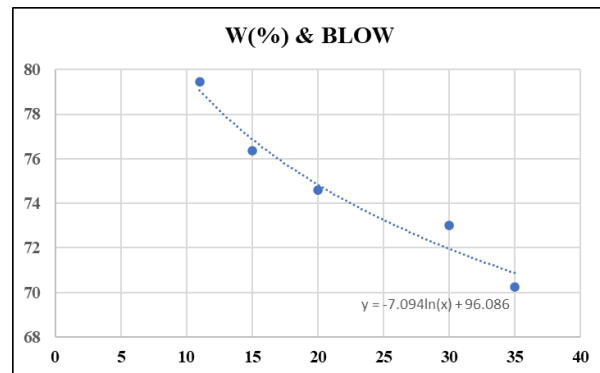
$$W_C = \frac{2.93 - 2.80}{2.80 - 2.49} \times 100 \\ = 42.12\%$$

$$W_D = \frac{3.01 - 2.85}{2.85 - 2.48} \times 100 \\ = 43.05\%$$

$$W_E = \frac{3.05 - 2.88}{2.88 - 2.48} \times 100 \\ = 43.11\%$$

$$PL = \frac{40.54 + 41.81 + 42.12 + 43.05 + 11}{5} = 42.13\%$$

$$IP = 73.25 - 42.13 = 31.12\%$$



Lampiran 7 Pemantauan Lereng Secara Aktual

VALE			MEMO - MINING TOUR
			FPB-03
CHECK LIST PEMANTAUAN LERENG			
Hari/Tanggal	Selasa, 20 Februari 2024		
Lokasi	FPB 01		
Nomor Alat	HE-5010		
Patok Penggalian	Ya	Tidak	Foto
Ada patok pit limit/ stake out	✓		
Ada patok arah penggalian	✓		
Ada patok kontrol level	✓		
Tanda-Tanda Bahaya	Ya	Tidak	
Sudut kemiringan lereng terjal/menggantung	✓		
Tinggi lereng melebihi rekomendasi	✓		
Ada retakan tarik pada permukaan lereng	✓		
Ditemukan bidang lemah/bidang gelincir	✓		
Ada air yang keluar dari lereng	✓		
Ada genangan air pada berm lereng	✓		
Ada jatuhnya material atau longsoran	✓		
Tindakan Perbaikan	Ya	Tidak	
Harus dilakukan resloping	✓		
Tinggi lereng harus diturunkan (continue)	✓		

Catatan : - Pada saat inspeksi dilakukan, aktifitas shovel terpantau gali maju relatif ke Utara saat ini. Kondisi lereng penggalian aktif masih terpantau standard dilapangan, tidak ditemukan issue geoteknik secara keseluruhan.

Disiapkan Oleh

Didiet Prayudha M.
B/N. c35693

Disetujui Oleh

Andi Burhanuddin
11519

VALE			MEMO - MINING TOUR
			FB-03
Hari/Tanggal	Rabu, 28 Februari 2024		
Lokasi	FPB 01		
Nomor Alat	HE-4030		
Patok Penggalian	Ya	Tidak	Foto
Ada patok pit limit/ stake out	✓		
Ada patok arah penggalian	✓		
Ada patok kontrol level	✓		
Tanda-Tanda Bahaya	Ya	Tidak	
Sudut kemiringan lereng terjal/menggantung	✓		
Tinggi lereng melebihi rekomendasi	✓		
Ada retakan tarik pada permukaan lereng	✓		
Ditemukan bidang lemah/bidang gelincir	✓		
Ada air yang keluar dari lereng	✓		
Ada genangan air pada berm lereng	✓		
Ada jatuhnya material atau longsoran	✓		
Tindakan Perbaikan	Ya	Tidak	
Harus dilakukan resloping	✓		
Tinggi lereng harus diturunkan	✓		

Catatan : - Pada saat inspeksi dilakukan, terpantau aktifitas digger masih continue gali maju ramp down ke sisi Tenggara. Terdapat unit support clean up paralel menurunkan ketinggian dilapangan.
- By visual terdapat buangan material side casting ke arah aktifitas minedev, dipastikan larian material ini tidak mengganggu aktifitas konstruksi dyke.

Disiapkan Oleh

Didiet Prayudha M.
B/N. c35693

Disetujui Oleh

Andi Burhanuddin
11519

CHECK LIST PEMANTAUAN LERENG			MEMO - MINING TOUR																																												
Hari/Tanggal	Selasa, 05 Maret 2024																																														
Lokasi	FPB 01																																														
Nomor Alat	HE-4030																																														
<table border="1"> <thead> <tr> <th>Patok Penggalian</th> <th>Ya</th> <th>Tidak</th> </tr> </thead> <tbody> <tr><td>Ada patok pif limit/ stake out</td><td>✓</td><td></td></tr> <tr><td>Ada patok arah penggalian</td><td>✓</td><td></td></tr> <tr><td>Ada patok kontrol level</td><td>✓</td><td></td></tr> <tr><td>Tanda-Tanda Bahaya</td><td>Ya</td><td>Tidak</td></tr> <tr><td>Sudut kemiringan lereng terjal/menggantung</td><td>✓</td><td></td></tr> <tr><td>Tinggi lereng melebihi rekomendasi</td><td>✓</td><td></td></tr> <tr><td>Ada retakan tarik pada permukaan lereng</td><td>✓</td><td></td></tr> <tr><td>Ditemukan bidang lemah/bidang gelincir</td><td>✓</td><td></td></tr> <tr><td>Ada air yang keluar dari lereng</td><td>✓</td><td></td></tr> <tr><td>Ada genangan air pada berm lereng</td><td>✓</td><td></td></tr> <tr><td>Ada jatuhannya material atau longsoran</td><td>✓</td><td></td></tr> <tr><td>Tindakan Perbaikan</td><td>Ya</td><td>Tidak</td></tr> <tr><td>Harus dilakukan resloping</td><td>✓</td><td></td></tr> <tr><td>Tinggi lereng harus diturunkan (continue)</td><td>✓</td><td></td></tr> </tbody> </table>		Patok Penggalian	Ya	Tidak	Ada patok pif limit/ stake out	✓		Ada patok arah penggalian	✓		Ada patok kontrol level	✓		Tanda-Tanda Bahaya	Ya	Tidak	Sudut kemiringan lereng terjal/menggantung	✓		Tinggi lereng melebihi rekomendasi	✓		Ada retakan tarik pada permukaan lereng	✓		Ditemukan bidang lemah/bidang gelincir	✓		Ada air yang keluar dari lereng	✓		Ada genangan air pada berm lereng	✓		Ada jatuhannya material atau longsoran	✓		Tindakan Perbaikan	Ya	Tidak	Harus dilakukan resloping	✓		Tinggi lereng harus diturunkan (continue)	✓		Foto
Patok Penggalian	Ya	Tidak																																													
Ada patok pif limit/ stake out	✓																																														
Ada patok arah penggalian	✓																																														
Ada patok kontrol level	✓																																														
Tanda-Tanda Bahaya	Ya	Tidak																																													
Sudut kemiringan lereng terjal/menggantung	✓																																														
Tinggi lereng melebihi rekomendasi	✓																																														
Ada retakan tarik pada permukaan lereng	✓																																														
Ditemukan bidang lemah/bidang gelincir	✓																																														
Ada air yang keluar dari lereng	✓																																														
Ada genangan air pada berm lereng	✓																																														
Ada jatuhannya material atau longsoran	✓																																														
Tindakan Perbaikan	Ya	Tidak																																													
Harus dilakukan resloping	✓																																														
Tinggi lereng harus diturunkan (continue)	✓																																														
Catatan :	<p>- Pada saat inspeksi dilakukan, digger dalam kondisi gali mundur continue ke sisi Barat. Tidak ditemukan issue geoteknik secara keseluruhan.</p>																																														
Disiapkan Oleh			Disetujui Oleh																																												
	Didiet Prayudha M. B/N. c35693																																														
		Andi Burhanuddin 11519																																													

CHECK LIST PEMANTAUAN LERENG			MEMO - MINING TOUR																																												
Hari/Tanggal	Selasa, 12 Maret 2024																																														
Lokasi	FPB 01																																														
Nomor Alat	HE-4029																																														
<table border="1"> <thead> <tr> <th>Patok Penggalian</th> <th>Ya</th> <th>Tidak</th> </tr> </thead> <tbody> <tr><td>Ada patok pif limit/ stake out</td><td>✓</td><td></td></tr> <tr><td>Ada patok arah penggalian</td><td>✓</td><td></td></tr> <tr><td>Ada patok kontrol level</td><td>✓</td><td></td></tr> <tr><td>Tanda-Tanda Bahaya</td><td>Ya</td><td>Tidak</td></tr> <tr><td>Sudut kemiringan lereng terjal/menggantung</td><td>✓</td><td></td></tr> <tr><td>Tinggi lereng melebihi rekomendasi</td><td>✓</td><td></td></tr> <tr><td>Ada retakan tarik pada permukaan lereng</td><td>✓</td><td></td></tr> <tr><td>Ditemukan bidang lemah/bidang gelincir</td><td>✓</td><td></td></tr> <tr><td>Ada air yang keluar dari lereng</td><td>✓</td><td></td></tr> <tr><td>Ada genangan air pada berm lereng</td><td>✓</td><td></td></tr> <tr><td>Ada jatuhannya material atau longsoran</td><td>✓</td><td></td></tr> <tr><td>Tindakan Perbaikan</td><td>Ya</td><td>Tidak</td></tr> <tr><td>Harus dilakukan resloping</td><td>✓</td><td></td></tr> <tr><td>Tinggi lereng harus diturunkan (continue)</td><td>✓</td><td></td></tr> </tbody> </table>		Patok Penggalian	Ya	Tidak	Ada patok pif limit/ stake out	✓		Ada patok arah penggalian	✓		Ada patok kontrol level	✓		Tanda-Tanda Bahaya	Ya	Tidak	Sudut kemiringan lereng terjal/menggantung	✓		Tinggi lereng melebihi rekomendasi	✓		Ada retakan tarik pada permukaan lereng	✓		Ditemukan bidang lemah/bidang gelincir	✓		Ada air yang keluar dari lereng	✓		Ada genangan air pada berm lereng	✓		Ada jatuhannya material atau longsoran	✓		Tindakan Perbaikan	Ya	Tidak	Harus dilakukan resloping	✓		Tinggi lereng harus diturunkan (continue)	✓		Foto
Patok Penggalian	Ya	Tidak																																													
Ada patok pif limit/ stake out	✓																																														
Ada patok arah penggalian	✓																																														
Ada patok kontrol level	✓																																														
Tanda-Tanda Bahaya	Ya	Tidak																																													
Sudut kemiringan lereng terjal/menggantung	✓																																														
Tinggi lereng melebihi rekomendasi	✓																																														
Ada retakan tarik pada permukaan lereng	✓																																														
Ditemukan bidang lemah/bidang gelincir	✓																																														
Ada air yang keluar dari lereng	✓																																														
Ada genangan air pada berm lereng	✓																																														
Ada jatuhannya material atau longsoran	✓																																														
Tindakan Perbaikan	Ya	Tidak																																													
Harus dilakukan resloping	✓																																														
Tinggi lereng harus diturunkan (continue)	✓																																														
Catatan :	<p>- Pada saat inspeksi dilakukan, digger dalam kondisi gali maju (BL) flat ke sisi Timur. Mohon diperhatikan jika semakin maju ke Timur ada potensi ketinggian dilapangan.</p>																																														
Disiapkan Oleh			Disetujui Oleh																																												
	Didiet Prayudha M. B/N. c35693																																														
		Andi Burhanuddin 11519																																													

 VALE FPB-03	MEMO - MINING TOUR																																																												
CHECK LIST PEMANTAUAN LERENG																																																													
Hari/Tanggal	Kamis, 21 Maret 2024																																																												
Lokasi	FPB 01																																																												
Nomor Alat	HE-5014																																																												
<table border="1" style="width: 100%; border-collapse: collapse;"> <thead> <tr> <th style="text-align: left; padding: 5px;">Patok Penggalian</th> <th style="text-align: center; padding: 5px;">Ya</th> <th style="text-align: center; padding: 5px;">Tidak</th> <th style="text-align: center; padding: 5px;">Foto</th> </tr> </thead> <tbody> <tr> <td style="padding: 5px;">Ada patok pt/limit/ stake out</td> <td style="text-align: center; padding: 5px;">✓</td> <td style="text-align: center; padding: 5px;"></td> <td style="text-align: center; padding: 5px;"></td> </tr> <tr> <td style="padding: 5px;">Ada patok arah penggalian</td> <td style="text-align: center; padding: 5px;">✓</td> <td style="text-align: center; padding: 5px;"></td> <td style="text-align: center; padding: 5px;"></td> </tr> <tr> <td style="padding: 5px;">Ada patok kontrol level</td> <td style="text-align: center; padding: 5px;">✓</td> <td style="text-align: center; padding: 5px;"></td> <td style="text-align: center; padding: 5px;"></td> </tr> <tr> <td style="padding: 5px;"><u>Tanda-Tanda Bahaya</u></td> <td style="text-align: center; padding: 5px;">Ya</td> <td style="text-align: center; padding: 5px;">Tidak</td> <td style="text-align: center; padding: 5px;"></td> </tr> <tr> <td style="padding: 5px;">Sudut kemiringan lereng terjal/menggantung</td> <td style="text-align: center; padding: 5px;">✓</td> <td style="text-align: center; padding: 5px;"></td> <td style="text-align: center; padding: 5px;"></td> </tr> <tr> <td style="padding: 5px;">Tinggi lereng melebihi rekomendasi</td> <td style="text-align: center; padding: 5px;">✓</td> <td style="text-align: center; padding: 5px;"></td> <td style="text-align: center; padding: 5px;"></td> </tr> <tr> <td style="padding: 5px;">Ada retakan tarik pada permukaan lereng</td> <td style="text-align: center; padding: 5px;">✓</td> <td style="text-align: center; padding: 5px;"></td> <td style="text-align: center; padding: 5px;"></td> </tr> <tr> <td style="padding: 5px;">Ditemukan bidang lemah/bidang gelincir</td> <td style="text-align: center; padding: 5px;">✓</td> <td style="text-align: center; padding: 5px;"></td> <td style="text-align: center; padding: 5px;"></td> </tr> <tr> <td style="padding: 5px;">Ada air yang keluar dari lereng</td> <td style="text-align: center; padding: 5px;">✓</td> <td style="text-align: center; padding: 5px;"></td> <td style="text-align: center; padding: 5px;"></td> </tr> <tr> <td style="padding: 5px;">Ada genangan air pada berm lereng</td> <td style="text-align: center; padding: 5px;">✓</td> <td style="text-align: center; padding: 5px;"></td> <td style="text-align: center; padding: 5px;"></td> </tr> <tr> <td style="padding: 5px;">Ada jatuhnya material atau longsoran</td> <td style="text-align: center; padding: 5px;">✓</td> <td style="text-align: center; padding: 5px;"></td> <td style="text-align: center; padding: 5px;"></td> </tr> <tr> <td style="padding: 5px;"><u>Tindakan Perbaikan</u></td> <td style="text-align: center; padding: 5px;">Ya</td> <td style="text-align: center; padding: 5px;">Tidak</td> <td style="text-align: center; padding: 5px;"></td> </tr> <tr> <td style="padding: 5px;">Harus dilakukan resloping</td> <td style="text-align: center; padding: 5px;">✓</td> <td style="text-align: center; padding: 5px;"></td> <td style="text-align: center; padding: 5px;"></td> </tr> <tr> <td style="padding: 5px;">Tinggi lereng harus diturunkan (continue)</td> <td style="text-align: center; padding: 5px;">✓</td> <td style="text-align: center; padding: 5px;"></td> <td style="text-align: center; padding: 5px;"></td> </tr> </tbody> </table>		Patok Penggalian	Ya	Tidak	Foto	Ada patok pt/limit/ stake out	✓			Ada patok arah penggalian	✓			Ada patok kontrol level	✓			<u>Tanda-Tanda Bahaya</u>	Ya	Tidak		Sudut kemiringan lereng terjal/menggantung	✓			Tinggi lereng melebihi rekomendasi	✓			Ada retakan tarik pada permukaan lereng	✓			Ditemukan bidang lemah/bidang gelincir	✓			Ada air yang keluar dari lereng	✓			Ada genangan air pada berm lereng	✓			Ada jatuhnya material atau longsoran	✓			<u>Tindakan Perbaikan</u>	Ya	Tidak		Harus dilakukan resloping	✓			Tinggi lereng harus diturunkan (continue)	✓		
Patok Penggalian	Ya	Tidak	Foto																																																										
Ada patok pt/limit/ stake out	✓																																																												
Ada patok arah penggalian	✓																																																												
Ada patok kontrol level	✓																																																												
<u>Tanda-Tanda Bahaya</u>	Ya	Tidak																																																											
Sudut kemiringan lereng terjal/menggantung	✓																																																												
Tinggi lereng melebihi rekomendasi	✓																																																												
Ada retakan tarik pada permukaan lereng	✓																																																												
Ditemukan bidang lemah/bidang gelincir	✓																																																												
Ada air yang keluar dari lereng	✓																																																												
Ada genangan air pada berm lereng	✓																																																												
Ada jatuhnya material atau longsoran	✓																																																												
<u>Tindakan Perbaikan</u>	Ya	Tidak																																																											
Harus dilakukan resloping	✓																																																												
Tinggi lereng harus diturunkan (continue)	✓																																																												
<p>Catatan :</p> <ul style="list-style-type: none"> - Pada saat inspeksi dilakukan, digger dalam kondisi gali mundur. Tidak ditemukan issue geoteknik dilapangan secara keseluruhan. 																																																													
Disiapkan Oleh  Idris A Kabalmay B/N. C024074	Disetujui Oleh  Andi Burmanuddin 11519																																																												

Lampiran 8 Kartu Konsultasi Tugas Akhir

Kartu Konsultasi Tugas Akhir

JUDUL: ANALISIS KESTABILAN LERENG PT FB-B-03 PT. VALE INDONESIA TB& BERDASARKAN HASIL KOMPARASI KONDISI DESAIN DAN AKTUAL PENAMBANGAN

(Konsultasi minimal 8 kali)

TANGGAL	MATERI KONSULTASI	PARAF DOSEN
18/04/2024	<ul style="list-style-type: none"> - Judul - Latar Belakang - Tujuan Penelitian - Rancangan Metodologi - Format Penelitian. 	✓ ✓ ✓
24/04/2024	<ul style="list-style-type: none"> - Tingkat Pengetahuan - Penambahan analisis BAB IV - Kesimpulan 	✓ ✓ ✓
30/04/2024	<ul style="list-style-type: none"> - Penambahan Latar Belakang - Format Penelitian judul dan Abstrak - Pembahasan - Perhitungan 	✓ ✓ ✓
03/05/2024	<ul style="list-style-type: none"> - Analisis kondisi statik, pseudo statik, PoF, Zonasi. - Format Penelitian METODOLOGI penelitian - Bagian Alir Penelitian 	✓ ✓ ✓
08/05/2024	<ul style="list-style-type: none"> - Pembahasan Pengaruh hasil Uji Sifat funk, ke analisis software 	✓ ✓ ✓

TANGGAL	MATERI KONSULTASI	PARAF DOSEN
15/05/2024	<ul style="list-style-type: none"> - Pembahasan Bab IV terkait Kontin Analisis - Penambahan Tingavan Pustaka - Penulisan daftar Pustaka 	Jpr
22/05/2024	<ul style="list-style-type: none"> - Bab I Pengecekan Ulang latar Belakang - Bab II Penulisan Rencana - Daftar Isi - Abstrak dr persingkat - Kesimpulan - Perbaikan Saran 	Jpr
08/06/2024	<ul style="list-style-type: none"> - Penulisan judul piramida terbalik - Halaman pengesahan - Format Penulisan catatan kaki - Penggunaan kata banga pada Langkah 2 kegiatan penelitian. - dan pengolahan data - kesimpulan dr singkat - Format artikel, dan Poster 	Jpr
06/06/2024		
30/07/2024	<ul style="list-style-type: none"> - Analisis dinamis dan genuh PoF - Penambahan input Material 	Jpr